

厚板耐候性高張力鋼の溶接継手の疲労に関する研究

神戸大学工学部 正会員 西村 昭
 神戸市港湾局 正会員○島田喜十郎
 神戸市港湾局 玉岡 了

1. まえがき

構造物の巨大化、複雑化に伴い高性能の新材料が必要とされるようになってきたが、新材料の採用にあたっては、その特性、問題点等を十分に把握するとともに、従来用いられていた材料と単純に置換して使用するのではなく、その効力を十分発揮できるように活用しなければならない。

耐候性鋼材は防食、防錆上の要求を満すために開発されたもので、Cu、Cr等の含有合金元素の関係から溶接性に若干の問題がある。厚板の高張力鋼材ではさらに一段と細心の注意が必要とされる。この場合溶接継手部の板厚方向に力が作用するすみ肉継手では鋼材固有の強度上の弱点とさらにラミネーション等の影響を大きくうける。

本文はSMA500, t=44mmの耐候性鋼材を用い、板厚方向の強度上の問題点が顕著に現われる十字型すみ肉溶接継手を用いて、主として疲労強度の面から検討を行なった結果について報告するものである。

2. 供試耐候性鋼材

供試鋼材は神戸大橋本橋部および取付道路部に用いた神戸市制定の製造仕様にもとづくもので、その主要内容は表-1に示す。本試験に用いた鋼材の化学成分、引張試験結果を表-2、8に示す。衝撃試験結果は図-1に示したが、板厚方向についても試験を行なっているので、試験片の採取位置も併せて記した。さらに歪時効およびCCT試験結果は図-2、8に示した。

表-1 耐候性鋼板の製造仕様

| 鋼種 | 板厚 (mm) | 化 学 成 分 (%) | | | | | | 機 械 的 性 質 |
|---------|------------|-------------|-------|-------|--------|--------|------|---|
| | | C | Si | Mn | P | S | Cr | |
| 耐候性SGH | ≤22 | ≤0.17 | — | — | ≤0.030 | ≤0.020 | — | ≤0.38 227 11~52 — 伸び/% 伸び/万 引張り方 |
| A | ≤32 | ≤0.17 | — | — | ≤0.030 | ≤0.020 | — | ≤0.38 227 11~52 — 伸び/% 伸び/万 引張り方 |
| SMA510B | ≤38 | ≤0.17 | ≤0.53 | ≤1.10 | ≤0.030 | ≤0.020 | — | ≤0.38 227 11~52 220 40% 伸び/% 伸び/万 引張り方 |
| C | ≤50 | — | — | — | — | — | — | — 227 11~52 — 伸び/% 伸び/万 引張り方 |
| A | ≤25 | ≤0.16 | ≤0.65 | ≤1.10 | ≤0.030 | ≤0.020 | 0.30 | ≤0.35 227 11~52 220 40% 伸び/% 伸び/万 引張り方 |
| C | ≤50 | — | — | — | — | — | — | — 227 11~52 — 伸び/% 伸び/万 引張り方 |
| SMA580B | ≤50 | ≤0.16 | ≤0.65 | ≤1.10 | ≤0.030 | ≤0.020 | 0.20 | ≤0.35 227 11~52 220 40% 伸び/% 伸び/万 引張り方 |
| t≤25 | — | — | — | — | — | — | — | — 227 11~52 — 伸び/% 伸び/万 引張り方 |
| SMA580B | ≤50 | ≤0.16 | ≤0.65 | ≤1.10 | ≤0.030 | ≤0.020 | 0.20 | ≤0.35 227 11~52 220 40% 伸び/% 伸び/万 引張り方 |
| t≤25 | — | — | — | — | — | — | — | — 227 11~52 — 伸び/% 伸び/万 引張り方 |

(注) ① SMA500 および SMA580 については Ni, Mo, Nb, V, Ti, Zr のいずれか一種類以上を添加している。

② 炭素当量(Ceq)の計算は次式による。

$$C_{eq} = C + Mn/6 + Si/27 + Cr/5 + Ni/40 + Mo/7 + V/17$$

③ JIS では 50~62 である範囲を採用した。

④ JIS では 58~73 である範囲を採用した。

表-2 供試鋼材の化学成分分析結果

| 鋼種 | 化 学 成 分 (%) | | | | | | | | Ceq (%) | | |
|------|-------------|------|------|-------|-------|------|-------|-------|------------|-------|-------------|
| | C | Si | Mn | P | S | Cr | Ni | Mo | | | |
| HV-A | 0.12 | 0.78 | 1.18 | 0.001 | 0.004 | 0.30 | 0.03 | 0.01 | 0.026 | — | 0.011 0.012 |
| Fe-V | 0.17 | 0.53 | 1.11 | 0.021 | 0.004 | 0.31 | 0.177 | 0.002 | 0.030 | 0.025 | 0.028 0.029 |

$$\times C_{eq} (\%) = C + Mn/6 + Si/27 + Ni/40 + Cr/5 + Mo/7 + V/17$$

表-3 母材引張、曲げ試験結果

| 試験番号 | 採取方向 | 降伏点 (kg/mm ²) | 引張強さ (kg/mm ²) | 伸び (%) | 絞り (%) | 曲げ試験 | |
|------|------|------------------------------|-------------------------------|--------|--------|---------|-------------------------------|
| | | | | | | Ceq (%) | 曲げ強さ (kg/mm ²) |
| L-1 | L | 37 | 53 | 36 | 73 | 良 | — |
| L-2 | L | 37 | 55 | 36 | 71 | 良 | — |
| C-1 | C | 37 | 53 | 37 | 68 | 良 | — |
| C-2 | C | 38 | 53 | 32 | 70 | 良 | — |
| Z-1 | Z | 36 | 53 | 22 | 20 | — | — |
| Z-2 | Z | 36 | 53 | 19 | 21 | — | — |

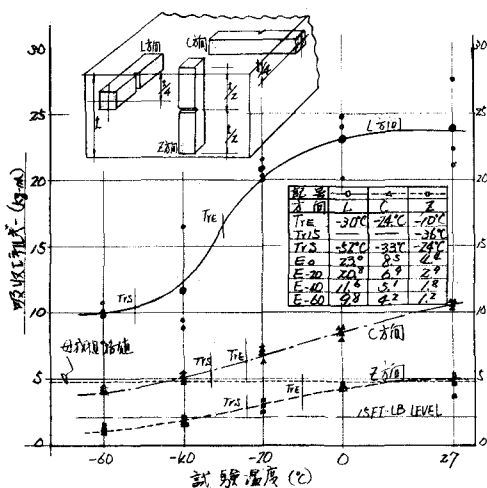


図-1 SMA50Cr24Ni成形試験による遷移曲線

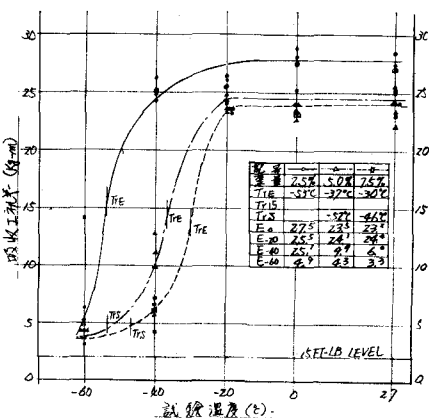


図-2 SM150Cr18Niの各至適組成による衝撃強度

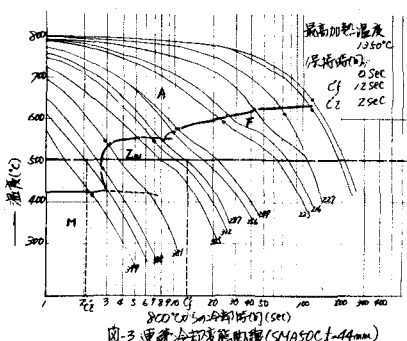


図-3 運転冷却実験結果(SMA50Cr24Ni)

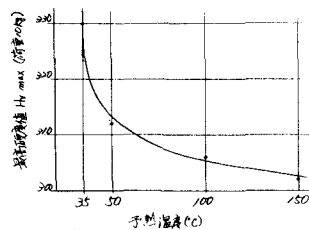


図-4 最高硬度温度における熱温度と最高硬さとの影響

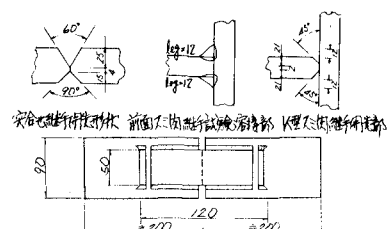


図-5 各試験用形状及寸法

8. 溶接性試験および溶接継手の静的試験

(1) 溶接性試験

本試験は溶接電流 170 ± 10 A, 溶接速度 150 ± 10 mm/min

、予熱温度 r.t(85°C), 50, 100, 150 °C 等の条件下で、LBW-52-28A(4φ)の溶接棒を用い JIS に準拠して行なった。その結果、最高硬さと予熱温度の関係は図-4に示したように、また Yスリット割れ試験ではルート、断面、表面等の割れ発生はなく良好な結果を得た。

| 継手の種類 (kg/mm²) | | | |
|----------------|-----------|----------|--------|
| 溶接法 | 溶合せ前面スリット | K型前面スリット | 側面スリット |
| 手溶接 | 58 | 53 | 50 |
| 埋弧溶接 | 57 | 67 | 53 |
| | 58 | 69 | 53 |
| | | | 78 |

表-1 静的試験結果

(2) 溶接継手の静的試験

溶接継手の種類は、突合せ、前面すみ肉、側面すみ肉で、その継手部の開先は図-5に示す。突合せ継手はユニオンメントによる自動溶接で溶接したが、すみ肉継手は自動溶接と手溶接の2種類の継手試験片を製作した。試験片および試験法はJISに準拠して行なった。その結果は表-4に示したとおりである。なお、突合せ継手の溶着金属部と熱影響部の衝撃試験結果を参考的に示すと図-6のようになっている。

4. 溶接継手の疲労試験

疲労試験は母材と十字型すみ肉継手について行ったが、試験片の形状寸法は疲労試験機の容量を考慮し、図-7に示したようなものにした。十字型すみ肉継手のつかみ板と試験板の幅との関係は、つかみ板の板厚の8倍の幅にすれば実際の鋼構造物と同じ挙動を示すことがすでに報告されているので¹⁾、ここでは8×44=182mmにすることにした。

本試験に使用した試験機は土60トンサーボバルサー型疲労試験機で、正弦波、繰返し速度600~700回/分、下限応力2kg/mm²のもとに片振試験を行なった。試験の結果は図-8、9に示した。

5. 考察

耐候性鋼材はCu, Cr等の含有合金元素の関係から溶接上若干問題があるが、ここで行なった溶接性試験、溶接継手の静的試験等からは良好な結果が得られている。すなわち、最高硬度は850HV以下で、Yスリット割れ

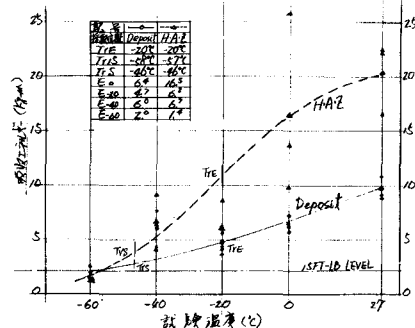


図-6. SM400R44 実地溶接部衝撃試験の遮蔽結果

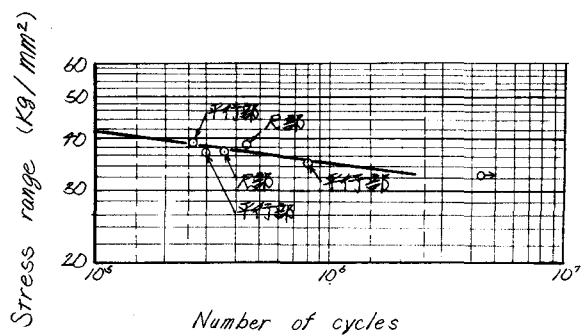
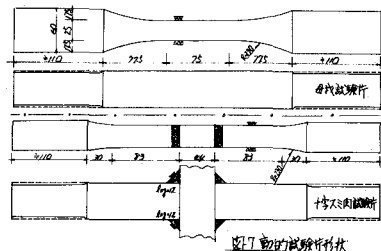


図-8 母材のS-N線図

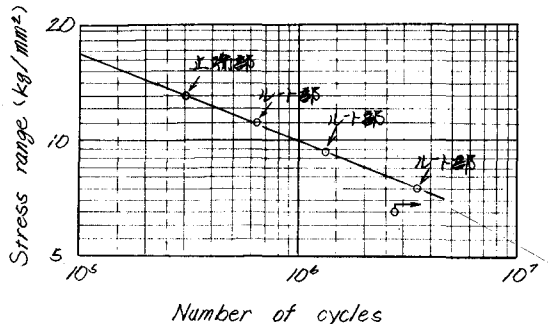


図-9 十字型立待部継手のS-N線図

試験結果も常温では割れが発生していない。また母材のO.C.T試験結果では初析フェライトの出はじめの臨界冷却曲線の硬度は287HVであり、衝撃試験、歪時効試験でも同様に良好な結果を示している。溶接継手の静的引張試験ではいずれの試験片も十分な強度を有している。特にシビヤーな条件の十字型継手のK開先隅肉継手は破断部が母材部ではなく離や開裂現象が認められておらず、板厚方向の静的引張強度は十分保障されている。また静的試験の結果から圧延方向を基準として比較すると表一5に示したような結果になっており、一般的に板厚方向の引張強度は圧延方向に比べて20%

～80%低いとされているが本試験材では変わらない強度を有していた。その伸び率、衝撃試験値については一般的な傾向が表わされている。

疲労試験の結果、母材の $N=2 \times 10^6$ に対する疲労強度は 82.7 kg/mm^2 で十字型隅肉継手のそれは 8.6 kg/mm^2 となつた。既往の試験結果を表一6に示したが、本試験で得られた結果は厚板といふ条件でも非常に良い結果であった。また、十字型継手の疲労破断部は溶接部であり、試験板部の破断は認められていないので、ラミネーションによる影響はないものと考えられる。このことより厚板耐候性鋼材であることが原因で、その隅肉溶接継手の疲労強度が問題となるようないことはないといえよう。

6. あとがき

本報告は厚板耐候性鋼材の溶接継手の疲労強度に関する一連の試験計画のうち、特に隅肉継手の疲労強度についての調査結果で、同型式の継手のK型開先、突合せ溶接継手については目下実験を継続中である。さらに 60 kg/mm^2 鋼に対しても実験を計画している。

最後に試験片の製作および静的試験等は柳井鉄工所、疲労試験は柳神戸製鋼所構造研究所において行なわれた。ここに付記して関係各位に深謝の意を表します。

1) 日本鋼構造協会材料小委員会、ラミネーションの鋼構造部材の強度におよぼす影響、JSSC Vol.4 No.30, 1968.

| 引張試験 | | | 衝撃試験 | | | |
|------|------|------|------|-------|------|------|
| 機械種類 | C | Z | 温度 | C | Z | |
| 引張量 | 1.00 | 1.01 | 0.97 | 0°C | 1.00 | 0.97 |
| 抗張力 | 1.00 | 0.98 | 1.01 | -20°C | 1.00 | 0.93 |
| 伸び | 1.00 | 0.92 | 0.57 | -40°C | 1.00 | 0.44 |
| 疲労 | 1.00 | 0.96 | 0.23 | 60°C | 1.00 | 0.43 |

表-5 L.C.Z方向比較

表-6 50キロ級高張力鋼の既報の試験結果および本試験結果

| 継手種類 | 板厚 | 静的機械的性質 | 時間強度(%) | | | 参考文献 | |
|-------|--------|---------|---------|----------------------------|---------------------------|----------------------|---------------------|
| | | | 式(倍率) | (mm) (kg/mm ²) | (kg/mm ²) (%) | | |
| 母材 | | | | 50~60 | 37 | 19.7, 19.8 | |
| SM50A | 2.5 | 38.0 | 55.0 | 27.0 | (70.2) | 28.2 JSSC7-93+146.86 | |
| SM50鋼 | 2.5 | 71.2 | 51.6 | 38.0 | (71.2) | 35.0 JSSC7-93+146.89 | |
| SM50鋼 | 3.8 | 100.0 | 56.0 | 50.0 | (70.8) | 28.2 JSSC7-93+146.6 | |
| 材 | SM50A | 10 | 70.2 | 54.9 | 37.0 | (77.1) | 32.2 JSSC7-93+146.8 |
| SM50A | 2.5 | 71.0 | 57.0 | 27.0 | | 30.5 JSSC7-93+146.7 | |
| 等 | SM50C | 7.7 | 37.0 | 54.0 | 36.0 | (71.7) | 32.7 未記載結果 |
| 子 | | | | 50~60 | 15 | 6.5 未記載結果 | |
| 等 | SM41 | 16 | 26.8 | 76.5 | 31.8 | — | |
| 等 | (B-17) | 32 | 29.6 | 78.8 | 39.6 | 7.0 FS規格 37-38 | |
| 等 | SM41 | 15 | 36.9 | 77.0 | 73.2 | 5.5 大内田 | |
| 等 | SM41 | 12 | 53.0 | 63.0 | 28.0 | 5.5 JSSC7-93+146.37 | |
| 等 | SM41 | 7.7 | 37.0 | 54.0 | 36.0 | 7.2 JSSC7-93+146.36 | |

等 6.5 未記載結果